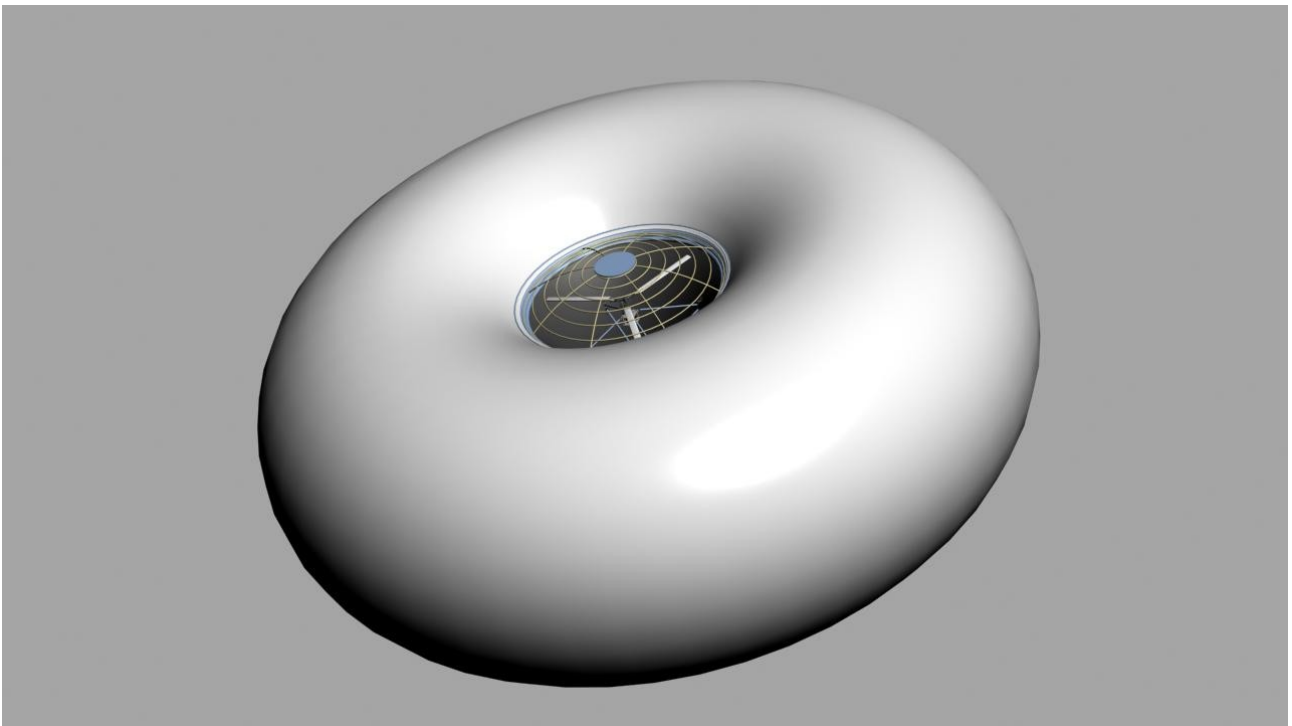


Projekt

Luftschiff-Helikopter-Hybrid



Präsentation

Geschichte

Bilder und Arbeitsproben

Grundlagen

Vorgestellt wird ein Auftriebskörper dessen grundsätzlich symmetrische Auslegung beliebige Orientierung und Stabilisierung ermöglicht.

Der prinzipielle Ansatz ermöglicht auch submarine oder extra-terrestrische Einsätze.

Alle momentan zur Verfügung stehenden Plattformen für beliebige Sensorik oder Aktorik haben konstruktionsbedingte Einschränkungen ihrer Freiheitsgrade

Diese Reduzierung der Freiheitsgrade wird durch die vorgestellte Erfindung aufgehoben.

Der Vergleich eines Fisches mit einer Qualle soll im folgenden die Intention veranschaulichen.

Ein Fisch hat, ähnlich wie ein Flugzeug oder Luftschiff, eine artbedingte Ober- und Unterseite (z,yaw,gier), ebenso die rechte und linke Seite (y,pitch,nick) und eine Vorder- und Hinterseite (x,roll,roll) welche gleichzeitig die Vortriebsrichtung ist.

Diese Anordnung ermöglicht nahezu beliebige Positionierung im Raum (steigen-sinken,drehen rechts-links und begrenztes kippen), jedoch keine freie Orientierung.

Eine Qualle hingegen hat einen rotationssymmetrischen Aufbau. Sie hat noch eine Ober- und Unterseite, ist aber vom Prinzip her fähig, sich mit ihrem innen liegenden Wasserrückstoß-Antrieb in jegliche Raumrichtung zu bewegen.

Wenn man diesen einfachen aber vielversprechenden Ansatz weiterentwickelt, kommt man zu einem rotationssymmetrischen ringförmigen Auftriebskörper, welcher das System von der Schwerkraft entkoppelt, und einem möglichst alle Freiheitsgrade abdeckenden innen liegendem Antrieb.

Diese technologische Umsetzung ermöglicht eine beliebig positionier- und orientierbare Plattform für jegliche denkbare Medien in denen Auftriebskörper einsetzbar sind.

Momentan verfügbare auf irgendeine Weise in flüssigen oder gasförmigen Medien steuerbare Objekte lassen sich in zwei Klassen aufteilen:

Dynamischer Auftrieb, die Schwerkraft wird aktiv durch aufbringen einer Gegenkraft überwunden:

- über Tragflächen, die durch Vortrieb in gewissen Geschwindigkeitsbereichen Auftrieb erzeugen (Flugzeuge, aber auch Drachen, Segler, Gleitschirme, Basejumper, usw.)
- durch lokale Drehflügler, die nach gleichen dynamischen Prinzipien aber mit höherem Energieaufwand sogar freies Schweben im Medium erreichen können (Hubschrauber, Multicopter)

Statischer Auftrieb, die Schwerkraft wird durch ein Auftriebsmedium in einem Auftriebskörper neutralisiert:

- obwohl eine völlige Entkopplung von der Schwerkraft möglich ist, wird in allen bekannten Auslegungen eine systembedingte Begrenzung der Freiheitsgrade vorgenommen (Blimps, Starr- und Halbstarrluftschiffe, Ballone, U-Boote)

Mit den Hybriden Luftschiffen existiert noch eine Mischform, die nur einen Teil des Gewichts durch das Auftriebsmedium aufhebt und den Rest durch Vortrieb mit entsprechenden Auftriebsflächen erzeugt.

Obwohl die prinzipielle konstruktionsbedingte Beschränkung der Freiheitsgrade wohl auf menschlicher ,eher zweidimensionalem Denken entsprechender, Vorstellung beruht, ist sie nicht notwendig.

Der vorgestellte Auftriebskörper ermöglicht diese Befreiung.

Eine weitere Folge dieser Erhöhung der Freiheitsgrade ist auch, das in alle Richtungen gegen Strömungen stabilisiert werden kann.

Bewegen in jede Richtung ↔ Stabilisieren in jede Richtung

Wie bei jedem der Natur ausgesetztem Objekt, kann die Stabilisierung aber nur in den Grenzen der Physik garantiert werden.

Ab gewissen Geschwindigkeiten kann ein Abbruch des Einsatzes notwendig sein, um das Fahrzeug einer Gefährdung zu entziehen.

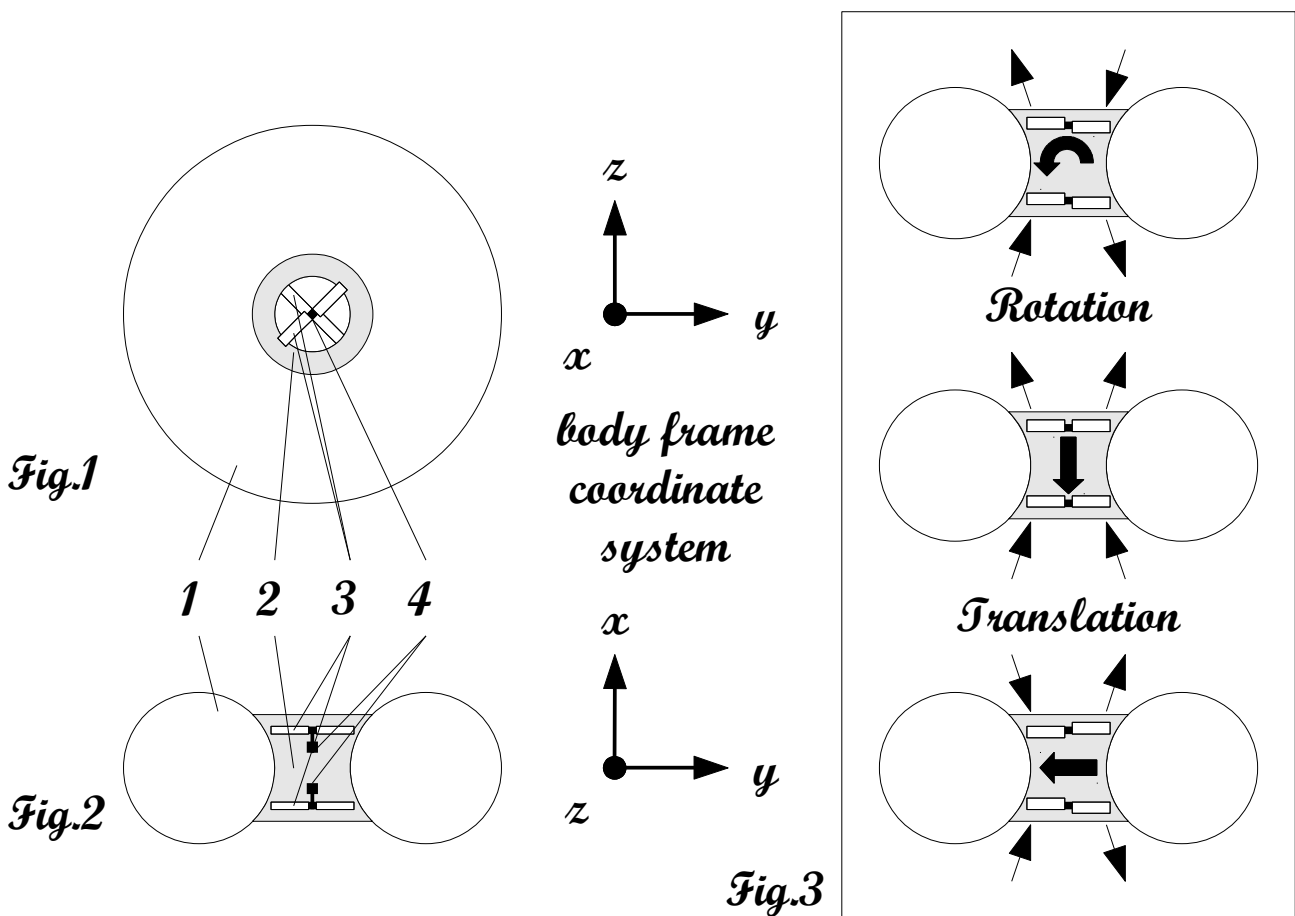
Aufbau

Ein ringförmiger Auftriebskörper (Reifen - Fig.1,2-1) umschließt eine Stützstruktur (Felge - Fig.1,2-2), welche den Strömungskanal formt und in der der Antrieb aufgebaut ist. Auch sämtliche Bordaggregate sind an dieser Felge befestigt.

Der Antrieb besteht in dieser Auslegung aus zwei gegenläufig drehenden Helikopterrotoren (Fig.1,2-3) mit zyklischer und kollektiver Blattverstellung, und separaten Motor-Getriebe-Einheiten (Fig.1,2-4).

Für den angestrebten leisen Betrieb werden Elektromotoren verwendet.

Dieser Ansatz ermöglicht die Abdeckung von 5 Freiheitsgraden (Fig.3). Eine Drehung um die Rotationssymetrieachse x ist nur bei Bewegung möglich, jedoch von geringer Relevanz.



Ein sich frei im Raum bewegendes Objekt benötigt Informationen über seine Lage und Position.

Ein inertiales Navigationssystem (INS) ist daher eine Grundvoraussetzung, egal ob ferngesteuert (RPV - Remotely Piloted Vehicle - Untergruppe der UAV's, nur ferngesteuert), autonom (mit Selbststeuerfähigkeit - Roboter) oder beliebige Mischformen.

Steuerung und/oder Informationsaustausch auf der Erde erfolgen je nach Einsatzgebiet über militärische Frequenzkanäle oder im zivilen Bereich über W-LAN im Nahbereich mit Fallback auf mobile Datennetze und im Extremfall auf Satellitendatenfunk (Iridium usw.)

Um die gewonnen Möglichkeiten der freien Orientierbarkeit nicht einzuschränken, sind alle Nutzlasten, welche eine spezifische Ausrichtung benötigen, in einer Art kardanischen Aufhängung unterzubringen, die sich wiederum beliebig orientieren lässt (Richtfunkantennen, Kameras, Sensoren, Sitze für Personen etc.).

Dieses vorgestellte System ist in weiten Bereichen seiner Tragfähigkeit skalierbar.

Einsatzgebiete

Grundlegende Eigenschaften des vorgestellten Fahrzeugs sind:

- beliebig orientier- und positionierbar im Gegensatz zu allen bisher bekannten Objekten
- geräusch- und vibrationsarm im Gegensatz zu Flugzeugen und Drehflüglern
- dynamische Auftriebsanpassung im Gegensatz zu bekannten Auftriebskörpern
- beliebige Aktuatoren anbaubar ("Roboterarme") mit beliebiger Sensorik

Die möglichen Einsatzgebiete sind sehr vielfältig:

(teilweise mit Angaben von anderen Systemen, welche im jeweiligen Einsatzgebiet heute agieren)

Klassische Aufklärungs- und Überwachungsszenarien

Stabile Langzeitpräsenz in großer Höhe

militärische Drohnen (HALE und MALE) oder Hybrid-Luftschiffe (LEMV)

Geräuscharme Nahaufklärung

Multikopter oder CIPHER und ähnliche

Werbeträger

Einmaliges Erscheinungsbild

Luftschiffe (bemannt oder ferngesteuert)

Beliebige luftdurchlässige Leichtbauformen können um das Fahrzeug aufgebaut werden
neu

Audiovisuelle Präsentation

Projektionsplattform für Musikvisualisierungen auf großen Veranstaltungen

neu

SAR (Search and Rescue)

Durch leise Antriebsauslegung kann auch akustisch gesucht werden

neu

Durch freie Orientierbarkeit kann auch an senkrechten oder überhängenden Wänden agiert werden
(Berge, Gebäude, Brücken, usw.)

neu

Katastrophenschutz

Kommunikationsrelaisstation

Mapping und Leitsystem für Bodeneinsätze

Minensuche

Suche in Bodennähe ohne Bodenkontakt und Gefährdung von Leben

neu

Forschung

Geologische und geografische Vermessungen an beliebigen Punkten im Raum

Laser - Vermessungen mit Bodenstationen oder Flugobjekten

Sensorenverbringung an entlegene Stellen

Minimalinvasive biologische Beobachtungen und Untersuchungen

(Sammeln im Urwalddach, Tierbeobachtung usw.)

Forschungsplattform für extra-terrestrische Atmosphären oder Unterwasser

Wartungsaufgaben

Stromnetzinspektion und Wartung

Hubschrauber und Ferngläser

Gebäudevermessungen und Inspektion

Brückeninspektionen usw.

Robotik

Jegliche vorstellbare autonome Aktion eines beliebig im Raum orientierbaren Fahrzeugs

Transport

Koppelung von mehreren Fahrzeugen möglich
ein Vergleich mit Ameisen:

kleine Fracht - eine Ameise

große Fracht - mehrere Ameisen

Sport

Wettkämpfe zwischen verschiedenen Fahrzeugen
(Rennen, 3d-Parcour, usw.)

Entertainment

Riesenmarionetten mit Fahrzeugen an den Gelenkpunkten können beliebiges darstellen
neu

Touristik

Personentragende Großplattformen können beliebige Ziele ansteuern
Whale watching aus der Luft

Medien

Kameraplattform

geringere Vibration und Lärmbelästigung als Drehflügler

höhere Manövrierbarkeit als LTA's

Freie Trajektorien mit Wiederholung oder Zeitraffung, -dehnung oder -umkehrung

Vorzüge des LTA (Lighter Than Air) Prinzips

Einen guten Überblick über die Einsatzmöglichkeiten und Vorteile von LTA's bietet der Wikipedia-Artikel des Zeppelin NT unter Einsatzgebiete. http://de.wikipedia.org/wiki/Zeppelin_NT#Einsatzgebiete

Zitat aus Wikipedia-Artikel http://en.wikipedia.org/wiki/Long_Endurance_Multi-intelligence_Vehicle

“While reconnaissance can be undertaken by fighter aircraft, the costs involved for such a flight were estimated in 2010 to be \$10,000–20,000 per flight hour, plus an additional \$10,000 in recapitalization costs. Helicopters are more affordable than their fighter equivalent, and can intervene like fighters if weapons are needed, but they are noisy and vulnerable, have very low endurance, and are still not cheap to operate. Hybrid airships can operate from any small forward base, like a helicopter. Their operating cost is likely to be better than any other surveillance option, as is their endurance, which can be measured in weeks.”

Projektgeschichte

Im Jahr 2000 hatte ich mit einem Freund aus Marseille die Idee ,ein ferngesteuertes Luftschiff für Luftbildaufnahmen zu entwickeln. Ein Jahr später, auf der Suche nach einem Alleinstellungsmerkmal, hatte ich eines Tages die Eingebung eines ringförmigen Auftriebskörpers.

In den nächsten 5 Jahren, die ich Halbjahresweise in Marseille verbrachte, versuchten wir im geheimen einen Prototyp mit 5 Metern Durchmesser zu entwickeln und zu bauen.

Später entwickelte ich den Prototyp am Bodensee bei meiner Familie selbständig weiter - in Sichtweite des umher fliegenden Zeppelin NT.

Inzwischen lebe ich wieder im Raum Tübingen, wo ich einst Physik studierte.

Von einem Bekannten wurde mir geraten, die Erfindung patentieren zu lassen, um den Erstanpruch zu sichern und mit diesem Rechtsschutz potentielle Geldgeber zu finden.

In diesen Zeitraum fiel auch die Erkenntnis, dass durch die fortschreitende Miniaturisierung der RC-Microhelikopter ein 1 Meter durchmessender Prototyp möglich wurde, welcher für einen Bruchteil der Kosten realisierbar wäre.

Ich bin seit Sommer 2015 im Besitz eines eingetragenen Gebrauchsmusters auf diese Erfindung.

Dieter Herz

Bilder und Arbeitsproben

Marseille

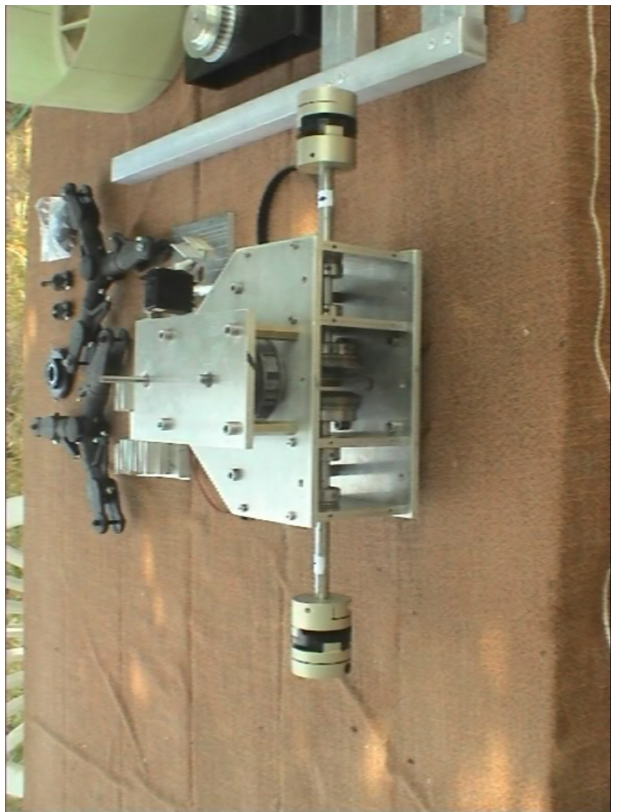
**Technischer Aufbau
5 Meter durchmessender Prototyp**

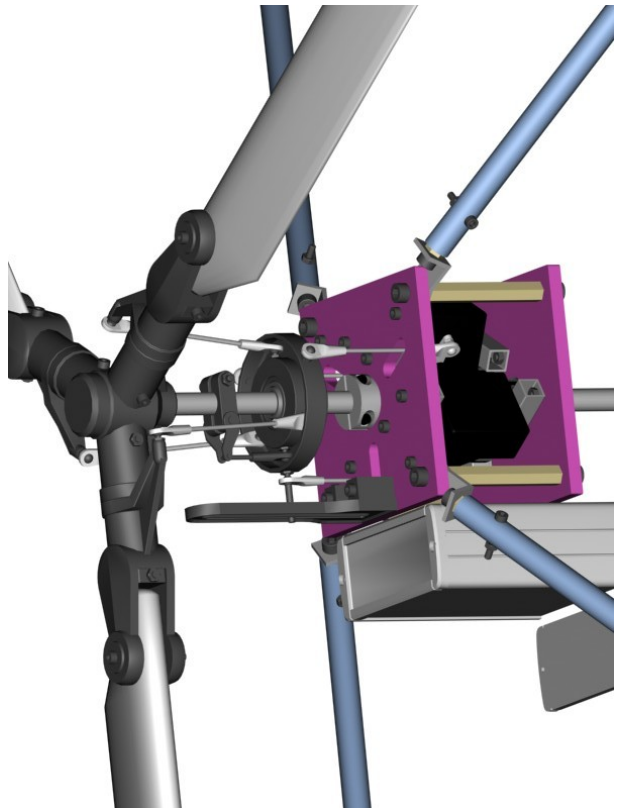
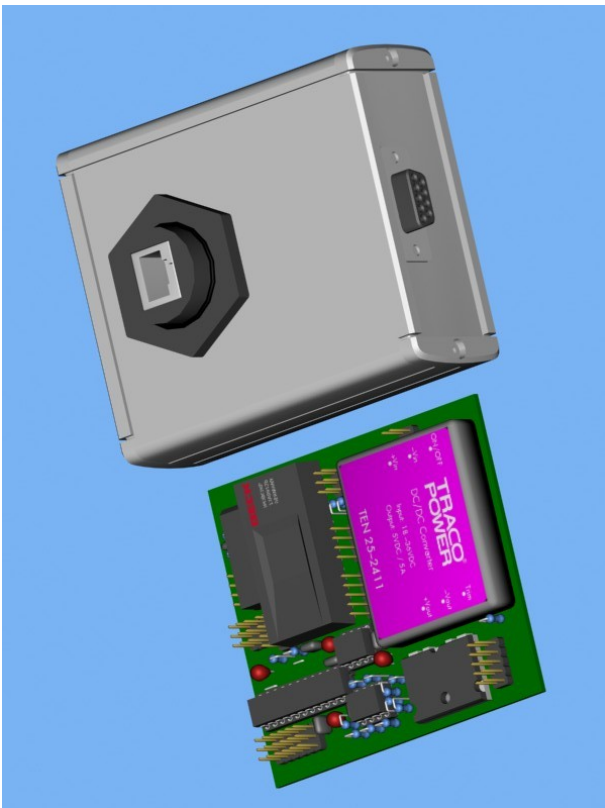
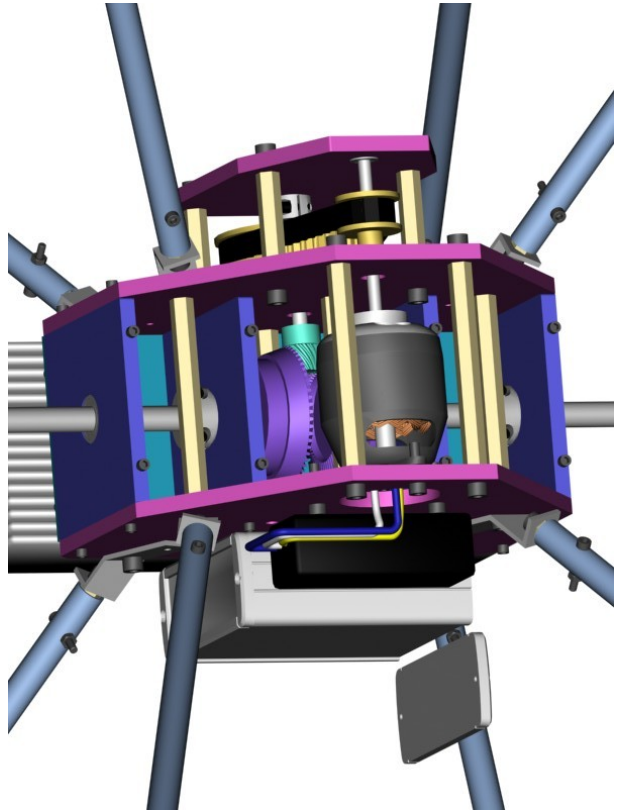
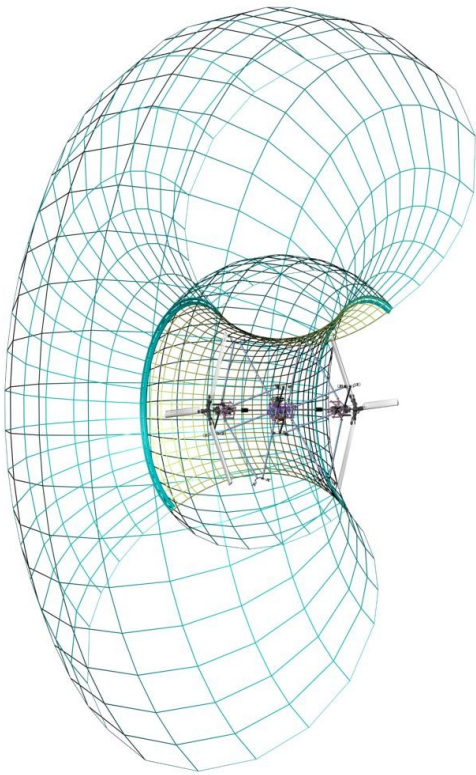
**INS
Inertiales Navigations-System**

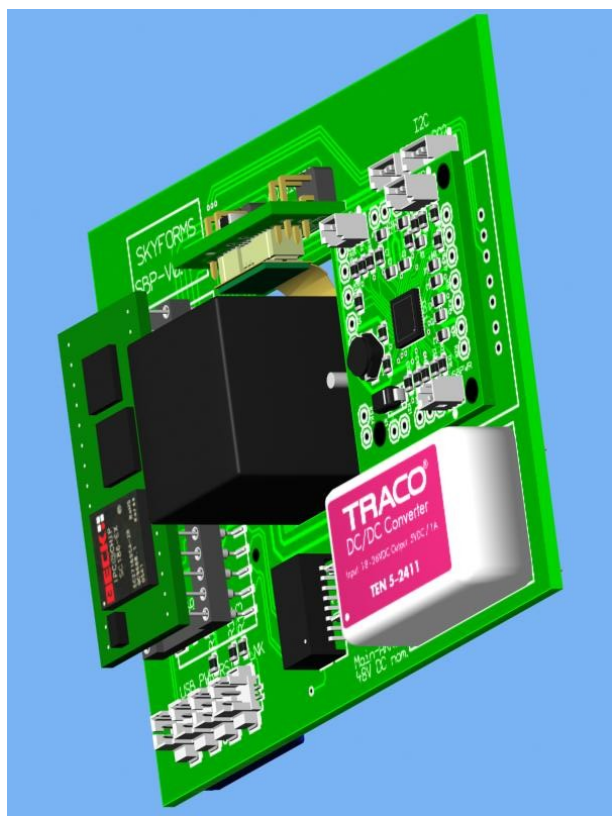
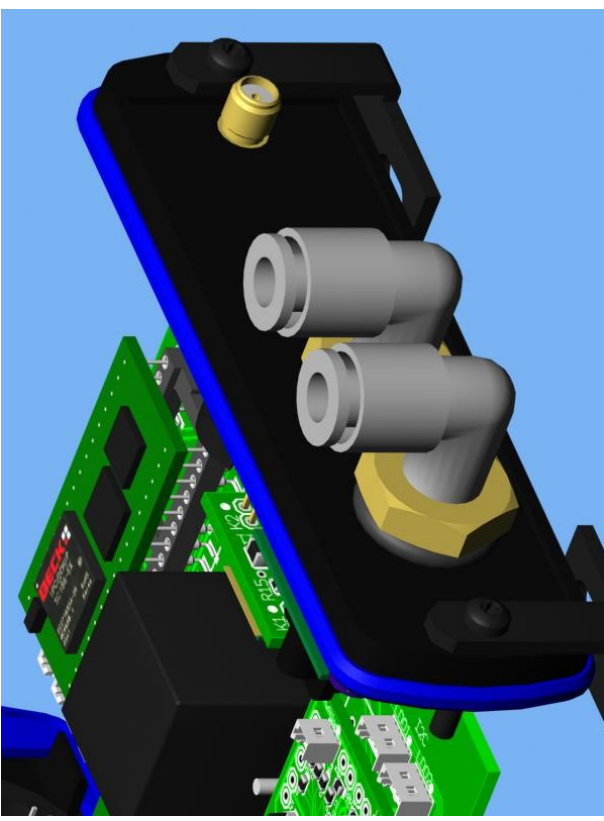
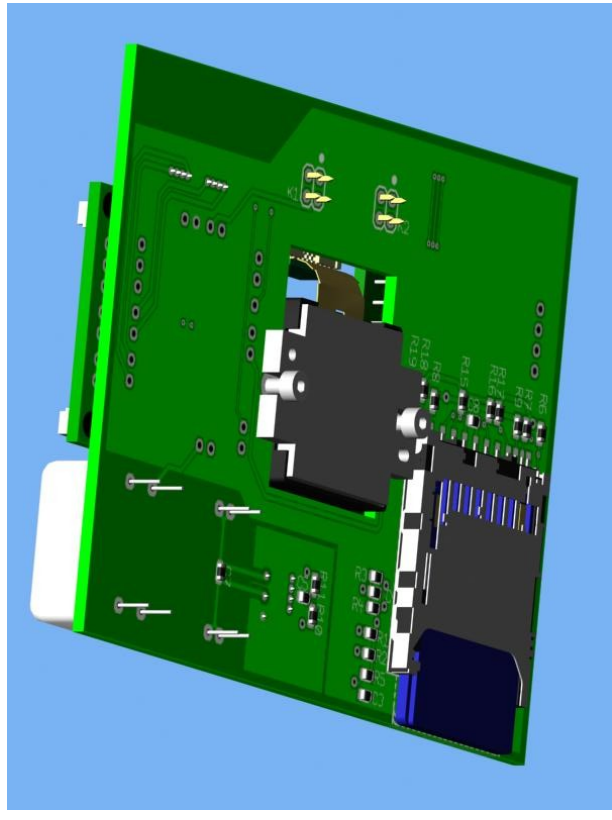
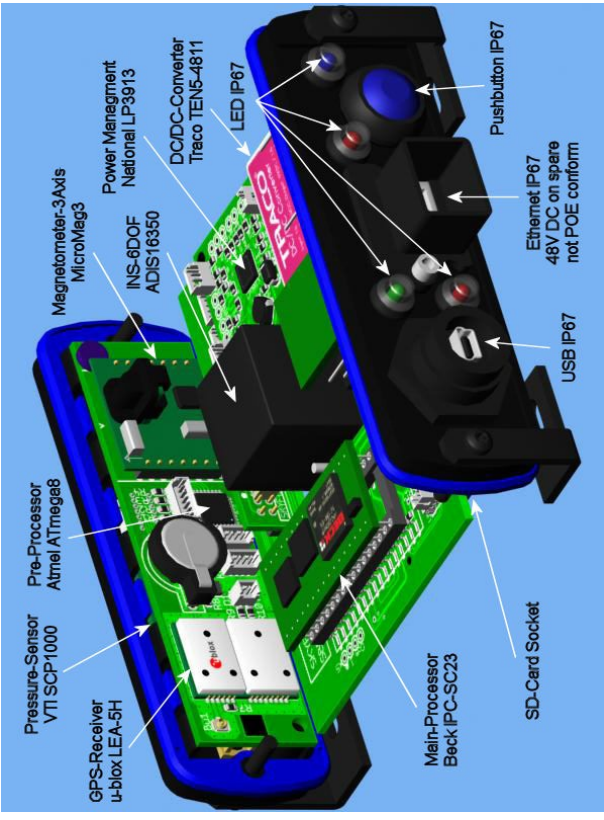
Impressionen

**Herleitung einer geschlossenen Lösung zur Ansteuerung der Taumelscheibe
einer Helikoptermechanik mit dem Ansatz der parallelen Kinematik**

Programmiertechnische Umsetzung vorheriger Herleitung in Pascal









#1: CaseMode := Sensitive

#2: InputMode := Word

$$\#3: \quad M := \begin{bmatrix} \cos(\phi) & -\sin(\phi) & 0 \\ \sin(\phi) & \cos(\phi) & 0 \\ 0 & 0 & 1 \end{bmatrix} \cdot \begin{bmatrix} 1 & 0 & 0 \\ 0 & \cos(\omega) & \sin(\omega) \\ 0 & -\sin(\omega) & \cos(\omega) \end{bmatrix} \cdot \begin{bmatrix} \cos(\phi) & \sin(\phi) & 0 \\ -\sin(\phi) & \cos(\phi) & 0 \\ 0 & 0 & 1 \end{bmatrix}$$

M ist die Matrixoperation der Taumelscheibenorientierung
 Matrixmultiplikation immer von rechts nach links
 drehung um ϕ (kipprichtung)
 kippen um ω
 rückdrehung ϕ

#4: A := [r·COS(τ), r·SIN(τ), 0]

A ist der Vektor des Taumelscheibenrandpunkts der
 Schubstangenankopplung
 r Radius
 τ Winkel – bei uns drei Punkte alle 120°

#5: B := [0, 0, p]

B ist der Vektor des Taumelscheibenpitch
 p Pitch

#6: C := [COS(τ)·(b + l·COS(ε)), SIN(τ)·(b + l·COS(ε)), h + l·SIN(ε)]

C ist der Vektor der Servo-Schubstangenankopplung
 b Servoradius
 l Servoarmlänge
 h Höhe unter Taumelscheibe
 ε das was wir eigentlich suchen – der Servoarmwinkel
 τ Winkel siehe A (wir setzen die Servos ja wohl direkt unter
 die Taumelscheibenkopplungen)

#7: M·A + B - C

M·A + B ist der also der Vektor eines der drei gepitschten und
 gekippten Taumelscheibenrandpunkte und C der Vektor des
 dazugehörigen Servoarmpunkts.
 Die Differenz ist also der Verbindungsvektor – die
 Schubstange.
 Deren Länge ist konstant und gleich h.
 Also ist der Betrag des Verbindungsvektors gleich h – im
 Quadrat leichter

#8: $(M \cdot A + B - C)^2 = h^2$

Sieht ja einfach aus aber ausgerechnet ergibt sich das

$$\#9: \quad -\cos(\epsilon) \cdot (\cos(\omega) \cdot (2 \cdot l \cdot r \cdot \cos(\phi)^2 \cdot \sin(\tau)^2 - 4 \cdot l \cdot r \cdot \sin(\phi) \cdot \cos(\phi) \cdot \sin(\tau) \cdot \cos(\tau) + 2 \cdot l \cdot r \cdot \sin(\phi)^2 \cdot \cos(\tau)^2) + 2 \cdot l \cdot r \cdot \cos(\phi)^2 \cdot \cos(\tau)^2 +$$

$$\begin{aligned}
& 4 \cdot l \cdot r \cdot \sin(\phi) \cdot \cos(\phi) \cdot \sin(\tau) \cdot \cos(\tau) + 2 \cdot l \cdot r \cdot \sin^2(\phi) \cdot \sin^2(\tau) - 2 \cdot b \cdot l) + \\
& \sin(\varepsilon) \cdot (\sin(\omega) \cdot (2 \cdot l \cdot r \cdot \cos(\phi) \cdot \sin(\tau) - 2 \cdot l \cdot r \cdot \sin(\phi) \cdot \cos(\tau)) + 2 \cdot l \cdot (h - p)) - \\
& \cos(\omega) \cdot (2 \cdot b \cdot r \cdot \cos^2(\phi) \cdot \sin^2(\tau) - 4 \cdot b \cdot r \cdot \sin(\phi) \cdot \cos(\phi) \cdot \sin(\tau) \cdot \cos(\tau) + \\
& 2 \cdot b \cdot r \cdot \sin^2(\phi) \cdot \cos^2(\tau)) + \sin(\omega) \cdot (2 \cdot r \cdot (h - p) \cdot \cos(\phi) \cdot \sin(\tau) + 2 \cdot r \cdot (p - \\
& h) \cdot \sin(\phi) \cdot \cos(\tau)) + \cos^2(\phi) \cdot (r^2 - 2 \cdot b \cdot r \cdot \cos^2(\tau)) - \\
& 4 \cdot b \cdot r \cdot \sin(\phi) \cdot \cos(\phi) \cdot \sin(\tau) \cdot \cos(\tau) + \sin^2(\phi) \cdot (r^2 - 2 \cdot b \cdot r \cdot \sin^2(\tau)) + b^2 + h^2 - \\
& 2 \cdot h \cdot p + l^2 + p^2 = h^2
\end{aligned}$$

Das geschickt faktorisiert, die Hauptarbeit, ergibt nach vielen Schritten mit

$$\#10: i := \sin(\phi) \cdot \cos(\tau) - \cos(\phi) \cdot \sin(\tau)$$

$$\begin{aligned}
\#11: & 2 \cdot (\cos(\varepsilon) \cdot l + b) \cdot (b + r \cdot (i^2 - 1) - i^2 \cdot r \cdot \cos(\omega)) + 2 \cdot (\sin(\varepsilon) \cdot l + (h - p)) \cdot (h - p \\
& - i \cdot r \cdot \sin(\omega)) - (h - p)^2 + l^2 - b^2 + r^2 - h^2 = 0
\end{aligned}$$

Noch etwas umgeformt und mit $b := r - l$ (es ist wirklich das gleiche)

$$\begin{aligned}
\#12: & \cos(\varepsilon) \cdot \left(i^2 \cdot (1 - \cos(\omega)) - \frac{1}{r} \right) + \sin(\varepsilon) \cdot \left(\frac{h - p}{r} - i \cdot \sin(\omega) \right) + \frac{h - p}{l} \cdot \left(\frac{h - p}{r} \right. \\
& \left. - i \cdot \sin(\omega) \right) + \frac{r - l}{l} \cdot \left(i^2 \cdot (1 - \cos(\omega)) - \frac{1}{r} \right) + \left(\left(1 - \frac{h^2}{2 \cdot l \cdot r} \right) - \frac{(h - p)^2}{2 \cdot l \cdot r} \right) = \\
& 0
\end{aligned}$$

Nun ein paar Substitutionen wie oben mit i (wir brauchen eine möglichst einfache Formel die nach ε gelöst werden kann, gleichzeitig sollte auch noch je nach Veränderlichkeit getrennt werden – schnelles Programm.

$$\#13: s := \frac{1}{r}$$

$$\#14: \cos(\varepsilon) \cdot (i^2 \cdot (1 - \cos(\omega)) - s) + \sin(\varepsilon) \cdot \left(\frac{h - p}{r} - i \cdot \sin(\omega) \right) + \frac{h - p}{l} \cdot \left(\frac{h - p}{r} -
\right.$$

$$i \cdot \sin(\omega) \Bigg) + \frac{r-1}{1} \cdot (i^2 \cdot (1 - \cos(\omega)) - s) + \left(\left(1 - \frac{h^2}{2 \cdot l \cdot r} \right) - \frac{(h-p)^2}{2 \cdot l \cdot r} \right) = 0$$

$$\#15: \quad t := \frac{r-1}{1}$$

$$\#16: \quad \cos(\varepsilon) \cdot (i^2 \cdot (1 - \cos(\omega)) - s) + \sin(\varepsilon) \cdot \left(\frac{h-p}{r} - i \cdot \sin(\omega) \right) + \frac{h-p}{1} \cdot \left(\frac{h-p}{r} - i \cdot \sin(\omega) \right) + t \cdot (i^2 \cdot (1 - \cos(\omega)) - s) + \left(\left(1 - \frac{h^2}{2 \cdot l \cdot r} \right) - \frac{(h-p)^2}{2 \cdot l \cdot r} \right) = 0$$

$$\#17: \quad u := 2 \cdot l \cdot r$$

$$\#18: \quad \cos(\varepsilon) \cdot (i^2 \cdot (1 - \cos(\omega)) - s) + \sin(\varepsilon) \cdot \left(\frac{h-p}{r} - i \cdot \sin(\omega) \right) + \frac{h-p}{1} \cdot \left(\frac{h-p}{r} - i \cdot \sin(\omega) \right) + t \cdot (i^2 \cdot (1 - \cos(\omega)) - s) + \left(\left(1 - \frac{h^2}{u} \right) - \frac{(h-p)^2}{u} \right) = 0$$

$$\#19: \quad v := 1 - \frac{h^2}{u}$$

$$\#20: \quad \cos(\varepsilon) \cdot (i^2 \cdot (1 - \cos(\omega)) - s) + \sin(\varepsilon) \cdot \left(\frac{h-p}{r} - i \cdot \sin(\omega) \right) + \frac{h-p}{1} \cdot \left(\frac{h-p}{r} - i \cdot \sin(\omega) \right) + t \cdot (i^2 \cdot (1 - \cos(\omega)) - s) + \left(v - \frac{(h-p)^2}{u} \right) = 0$$

$$\#21: \quad w := h - p$$

$$\#22: \quad \cos(\varepsilon) \cdot (i^2 \cdot (1 - \cos(\omega)) - s) + \sin(\varepsilon) \cdot \left(\frac{w}{r} - i \cdot \sin(\omega) \right) + \frac{w}{1} \cdot \left(\frac{w}{r} - i \cdot \sin(\omega) \right) + t \cdot (i^2 \cdot (1 - \cos(\omega)) - s) + \left(v - \frac{w^2}{u} \right) = 0$$

$$\#23: \quad m := i^2 \cdot (1 - \cos(\omega)) - s$$

$$\#24: \quad \cos(\varepsilon) \cdot m + \sin(\varepsilon) \cdot \left(\frac{w}{r} - i \cdot \sin(\omega) \right) + \frac{w}{1} \cdot \left(\frac{w}{r} - i \cdot \sin(\omega) \right) + t \cdot m + \left(v - \frac{w^2}{u} \right) = 0$$

$$\#25: \quad g := \frac{w}{r}$$

$$\#26: \cos(\epsilon) \cdot m + \sin(\epsilon) \cdot (g - i \cdot \sin(w)) + \frac{w}{1} \cdot (g - i \cdot \sin(w)) + t \cdot m + \left(v - \frac{w^2}{u} \right) = 0$$

$$\#27: n := g - i \cdot \sin(w)$$

$$\#28: \cos(\epsilon) \cdot m + \sin(\epsilon) \cdot n + \left(\frac{w}{1} \cdot n + t \cdot m + v - \frac{w^2}{u} \right) = 0$$

$$\#29: L := \frac{w}{1} \cdot n + t \cdot m + v - \frac{w^2}{u}$$

$$\#30: \cos(\epsilon) \cdot m + \sin(\epsilon) \cdot n + L = 0$$

Unglaublich oder, das können wir jetzt lösen:

$$\begin{aligned} \#31: \quad \epsilon = -\frac{\pi \cdot \text{SIGN}(m)}{2} - \text{ASIN}\left(\frac{L}{\sqrt{(m^2 + n^2)}}\right) + \text{ATAN}\left(\frac{n}{m}\right) \vee \epsilon = -\frac{\pi \cdot \text{SIGN}(m)}{2} + \\ \text{ASIN}\left(\frac{L}{\sqrt{(m^2 + n^2)}}\right) + \text{ATAN}\left(\frac{n}{m}\right) - \pi \vee \epsilon = -\frac{\pi \cdot \text{SIGN}(m)}{2} + \text{ASIN}\left(\frac{L}{\sqrt{(m^2 + n^2)}}\right) + \\ \text{ATAN}\left(\frac{n}{m}\right) + \pi \end{aligned}$$

Uns reicht der erste Ansatz, die Abschätzung von $\text{sign}(m)$ war auch noch nervig also

$$\#32: \quad \epsilon = \frac{\pi}{2} - \text{ASIN}\left(\frac{L}{\sqrt{(m^2 + n^2)}}\right) + \text{ATAN}\left(\frac{n}{m}\right)$$

na?

Falls du daran zweifelst das $\#30 = \#9$

$$\begin{aligned} \#33: \quad & \text{SOLVE}(-\cos(\epsilon) \cdot (\cos(w) \cdot (2 \cdot l \cdot r \cdot \cos(\phi)^2 \cdot \sin(\tau)^2 - \\ & 4 \cdot l \cdot r \cdot \sin(\phi) \cdot \cos(\phi) \cdot \sin(\tau) \cdot \cos(\tau) + 2 \cdot l \cdot r \cdot \sin(\phi)^2 \cdot \cos(\tau)^2) - \\ & 2 \cdot l \cdot r \cdot \cos(\phi)^2 \cdot \sin(\tau)^2 + 4 \cdot l \cdot r \cdot \sin(\phi) \cdot \cos(\phi) \cdot \sin(\tau) \cdot \cos(\tau) - \\ & 2 \cdot l \cdot r \cdot \sin(\phi)^2 \cdot \cos(\tau)^2 + 2 \cdot l^2) + \sin(\epsilon) \cdot (\sin(w) \cdot (2 \cdot l \cdot r \cdot \cos(\phi) \cdot \sin(\tau) - \\ & 2 \cdot l \cdot r \cdot \sin(\phi) \cdot \cos(\tau)) + 2 \cdot l \cdot (h - p)) + \cos(w) \cdot (2 \cdot r \cdot (1 - r) \cdot \cos(\phi)^2 \cdot \sin(\tau)^2 + \\ & 4 \cdot r \cdot (r - 1) \cdot \sin(\phi) \cdot \cos(\phi) \cdot \sin(\tau) \cdot \cos(\tau) + 2 \cdot r \cdot (1 - r) \cdot \sin(\phi)^2 \cdot \cos(\tau)^2) + \\ & \sin(w) \cdot (2 \cdot r \cdot (h - p) \cdot \cos(\phi) \cdot \sin(\tau) + 2 \cdot r \cdot (p - h) \cdot \sin(\phi) \cdot \cos(\tau)) + 2 \cdot r \cdot (r - \end{aligned}$$

$$\begin{aligned}
& 1) \cdot \cos(\phi)^2 \cdot \sin(\tau)^2 + 4 \cdot r \cdot (1 - r) \cdot \sin(\phi) \cdot \cos(\phi) \cdot \sin(\tau) \cdot \cos(\tau) + 2 \cdot r \cdot (r - \\
& 1) \cdot \sin(\phi)^2 \cdot \cos(\tau)^2 - 2 \cdot h \cdot p + 2 \cdot l^2 + p^2 = - \\
& \cos(\varepsilon) \cdot (\cos(\omega) \cdot (2 \cdot l \cdot r \cdot \cos(\phi)^2 \cdot \sin(\tau)^2 - 4 \cdot l \cdot r \cdot \sin(\phi) \cdot \cos(\phi) \cdot \sin(\tau) \cdot \cos(\tau) + \\
& 2 \cdot l \cdot r \cdot \sin(\phi)^2 \cdot \cos(\tau)^2) + 2 \cdot l \cdot r \cdot \cos(\phi)^2 \cdot \cos(\tau)^2 + \\
& 4 \cdot l \cdot r \cdot \sin(\phi) \cdot \cos(\phi) \cdot \sin(\tau) \cdot \cos(\tau) + 2 \cdot l \cdot r \cdot \sin(\phi)^2 \cdot \sin(\tau)^2 + 2 \cdot l \cdot (1 - r)) + \\
& \sin(\varepsilon) \cdot (\sin(\omega) \cdot (2 \cdot l \cdot r \cdot \cos(\phi) \cdot \sin(\tau) - 2 \cdot l \cdot r \cdot \sin(\phi) \cdot \cos(\tau)) + 2 \cdot l \cdot (h - p)) + \\
& \cos(\omega) \cdot (2 \cdot r \cdot (1 - r) \cdot \cos(\phi)^2 \cdot \sin(\tau)^2 + 4 \cdot r \cdot (r - 1) \cdot \sin(\phi) \cdot \cos(\phi) \cdot \sin(\tau) \cdot \cos(\tau) \\
& + 2 \cdot r \cdot (1 - r) \cdot \sin(\phi)^2 \cdot \cos(\tau)^2) + \sin(\omega) \cdot (2 \cdot r \cdot (h - p) \cdot \cos(\phi) \cdot \sin(\tau) + 2 \cdot r \cdot (p - \\
& h) \cdot \sin(\phi) \cdot \cos(\tau)) + \cos(\phi)^2 \cdot (2 \cdot r \cdot (1 - r) \cdot \cos(\tau)^2 + r^2) + 4 \cdot r \cdot (1 - \\
& r) \cdot \sin(\phi) \cdot \cos(\phi) \cdot \sin(\tau) \cdot \cos(\tau) + \sin(\phi)^2 \cdot (2 \cdot r \cdot (1 - r) \cdot \sin(\tau)^2 + r^2) - 2 \cdot h \cdot p + \\
& 2 \cdot l^2 - 2 \cdot l \cdot r + p^2 + r^2, \varepsilon)
\end{aligned}$$

#34:

true

q.e.d.

falls du's nicht mehr weißt

quod erat demonstrandum


```

1  (*****
2  *
3  * (C) 2005 by HDSYSTEMS
4  *
5  * -----
6  * Module      : servoipc.pas
7  *
8  * Function     : servo-pwm with ipc@chip rtos
9  *
10 * Compiler     : Borland Pascal 7.0, Model large, integer 16bit
11 * Author      : Dieter Herz
12 * Date       : 30.01.06
13 * Version    : V1.00
14 * -----
15 * History     :
16 *
17 * Vx.yy      Author  Changes
18 *
19 *****)
20 { some important compiler settings d- r- s- for sc12 }
21 { **** }
22 { **** }
23
24 unit servoipc;
25
26 interface
27
28 uses dos, hlapiipc;
29
30 const
31   { swash plate math constants }
32   Cpihalbe      = Pi / 2;
33   Cradto servo  = 128 / (Pi/4);
34   Cservoanzahl  = 3;
35   Cservoanzmax  = 4;
36   Cservoringcount = 5;
37   Cservostep    = Pi * 2 / Cservoanzahl;
38   Cservoarmlaenge = 20;
39   Ctaumradius   = 35;
40   Cservotiefe   = 60;
41   Cservoradius  = Ctaumradius - Cservoarmlaenge;
42   Causdrucks    = Cservoarmlaenge / Ctaumradius;
43   Causdruckt    = Cservoradius / Cservoarmlaenge;
44   Causdrucku    = 2 * Ctaumradius * Cservoarmlaenge;
45   Causdruckv    = 1 - ( Cservotiefe * Cservotiefe / Causdrucku );
46   Cmaxphi       = Pi;
47   Cmaxomega     = 15.0 * Pi / 180;
48   Cmaxpitch     = 5.0;
49
50   { PIO }
51   { PIOs for servos 7,8,9,10 #0000011110000000:
52     Cpioservos = $0780;
53     Cpioservo : array[1..Cservoanzmax] of byte = (7,8,9,10); }
54   { PIO numbering amd 23-20 for 7-10 with ipc ( > 16 so in pio-regs 1)
55     #0000000011110000 }
56   Cpioservos = $00F0;
57   Cpioservo : array[1..Cservoanzmax] of byte = ($80,$40,$20,$10);

```

```

58
59   { PIO direct registers }
60   Cpmode0 = $FF70;           { PIO Mode 0 Register }
61   Cpmode1 = $FF76;           { PIO Mode 1 Register }
62   Cpdir0  = $FF72;           { PIO Direction 0 Register }
63   Cpdir1  = $FF78;           { PIO Direction 1 Register }
64   Cpdata0 = $FF74;           { PIO Data Register 0 }
65   Cpdata1 = $FF7A;           { PIO Data Register 1 }
66
67   { Timer direct registers }
68   Ct0con  = $FF56;           { Timer 0 Mode/Control }
69   Ct1con  = $FF5E;           { Timer 1 Mode/Control }
70   Ct2con  = $FF66;           { Timer 2 Mode/Control }
71   Ct0cnt  = $FF50;           { Timer 0 Count }
72   Ct1cnt  = $FF58;           { Timer 1 Count }
73   Ct2cnt  = $FF60;           { Timer 2 Count }
74   Ct0cmpa = $FF52;           { Timer 0 Maxcount Compare A }
75   Ct0cmpb = $FF54;           { Timer 0 Maxcount Compare B }
76   Ct1cmpa = $FF5A;           { Timer 1 Maxcount Compare A }
77   Ct1cmpb = $FF5C;           { Timer 1 Maxcount Compare B }
78   Ct2cmpa = $FF62;           { Timer 2 Maxcount Compare A }
79   Ctcserv = $E000;           { Timer - conf for servo #1110000000000000 }
80
81  type
82     Tservo  = 1..Cservoanzahl; { servos }
83     Tservos = array[Tservo] of integer;
84     Tpulse  = record
85         length: integer;
86         pio    : byte;
87     end;
88     Tpulses = array[Tservo] of Tpulse;
89
90  const
91     Cservotimer = Ctimer0;
92     servocount  : 1..Cservingcount = Cservingcount;
93     servostart  : integer = 0;
94     servostops  : integer = 0;
95     servobasis  : integer = 6250;
96
97  var
98     servos: Tservos;
99     pulses: Tpulses;
100    servosin,servocos : array [1..Cservoanzahl] of real;
101    servoactiv, servovalid: boolean;
102
103  function arcsin(x: real): real;
104  function arccos(x: real): real;
105  procedure SinCos(x: real; var sinx, cosx: real);
106  function servoinit: integer;
107  procedure servodeinit;
108  procedure servoint;
109  procedure servocycle;
110  procedure swashinit;
111  procedure swashmath (TaumPhi,TaumOmega,TaumPitch: real);
112  procedure pulsemath;
113
114  implementation
115

```

```
116 function int2str (num: integer): string;
117 var
118     s: string;
119 begin
120     str (num, s);
121     int2str := s;
122 end;
123
124 function arcsin(x: real): real;
125 begin
126     if abs(x) = 1.0 then
127         arcsin := x * Cpihalbe
128     else
129         arcsin := ArcTan(x / sqrt(1.0 - x*x));
130     end;
131
132 function arccos(x: real): real;
133 begin
134     arccos := Cpihalbe - arcsin(x);
135 end ;
136
137 procedure SinCos(x: real; var sinx, cosx: real);
138 begin
139     sinx := Sin(x);
140     cosx := Cos(x);
141 end ;
142
143 { init the pwm on ipc@chip }
144 function servoinit: integer;
145 var
146     tempptr: pointer;
147 begin
148     swashmath(0,0,0);
149 {   pfeenpios(Cpioservos, Cpiooutlo);
150     halinittimer(Cservotimer, Ctconfsei, 0);
151     halinittimext(Cservotimer, Ctconfedd); }
152     portw[Cpdata1] := portw[Cpdata1] and not Cpioservos;
153     portw[Cpmodel] := portw[Cpmodel] or Cpioservos;
154     portw[Cpdir1]  := portw[Cpdir1] and not Cpioservos;
155     portw[Ct0cnt]  := 0;
156 end;
157
158 { deinit the pwm on ipc@chip }
159 procedure servodeinit;
160 begin
161     swashmath(0,0,0);
162 end;
163
164 { servo interupt called by timer after pulse-times reached }
165 procedure servoint;
166 begin
167     portw[Cpdata1] := portw[Cpdata1] and not pulses[servocount].pio;
168     inc(servostops);
169 end;
170
171 { servo cycle - must be called every 4ms from $af-interrupt }
172 procedure servocycle;
173 begin
```

```
174     if servoactiv then
175     begin
176         if servocount < 5 then
177             inc(servocount)
178         else
179             servocount := 1;
180         if servocount <= Cservoanzahl then
181             begin
182                 inc(servostart);
183                 portw[Ct0cnt] := 0;
184                 portw[Ct0cmpa] := pulses[servocount].length;
185                 portw[Cpdata1] := portw[Cpdata1] or pulses[servocount].pio;
186                 portw[Ct0con] := Ctcserv;
187             end;
188         end;
189     end;
190
191 { a few sin/cos for swash plate operation }
192 procedure swashinit;
193 var
194     snr : Tservo;
195 begin
196     for snr := 1 to Cservoanzahl do { a few needed fixed sin/cos }
197         SinCos(Cpihalbe + (snr - 1) * Cservostep, servosin[snr], servocos[snr]);
198     end;
199
200 { swash plate mathematics - phi, omega and pitch in rad - servo}
201 procedure swashmath (TaumPhi, TaumOmega, TaumPitch: real);
202 var
203     Snr : Tservo;
204     TaumPhisin, TaumPhicos,
205     TaumOmegasin, TaumOmegacos,
206     Ausdruckw, Ausdruckg,
207     Mteil, Lteil1, Lteil2 : real;
208     Servoeps, I, L, M, N : array [Tservo] of real;
209 begin
210     if abs(TaumOmega) > Cmaxomega then
211     begin
212         if TaumOmega < 0 then
213             TaumOmega := -Cmaxomega
214         else
215             TaumOmega := Cmaxomega;
216     end;
217     if abs(TaumPitch) > Cmaxpitch then
218     begin
219         if TaumPitch < 0 then
220             TaumPitch := -Cmaxpitch
221         else
222             TaumPitch := Cmaxpitch;
223     end;
224     SinCos(TaumPhi, TaumPhisin, TaumPhicos);
225     SinCos(TaumOmega, TaumOmegasin, TaumOmegacos);
226     Mteil := 1 - TaumOmegacos;
227     Ausdruckw := Cservotiefe - TaumPitch;
228     Ausdruckg := Ausdruckw / Ctaumradius;
229     Lteil1 := Ausdruckw / Cservoarmlaenge;
230     Lteil2 := Causdruckv - ( Sqr(Ausdruckw) / Causdrucku );
231     for Snr := 1 to Cservoanzahl do
```

```
232     begin
233         I[Snr] := TaumPhisin*servocos[Snr] - TaumPhicos*servosin[Snr];
234         M[Snr] := Sqr(I[Snr]) * Mteil - Causdrucks;
235         N[Snr] := Ausdruckg - I[Snr] * TaumOmegasin;
236         L[Snr] := Causdruckt * M[Snr] + Lteil1 * N[Snr] + Lteil2;
237         Servoeeps[Snr] := Cpihalbe - ArcSin (L[Snr]/Sqrt(Sqr(M[Snr])+Sqr(N[Snr])))
238             + ArcTan (N[Snr]/M[Snr]);
239         servos[Snr] := Round (Servoeeps[Snr] * Cradtoservo + 128)
240     end;
241     writeln('Servo1 ' + int2str(servos[1]));
242     writeln('Servo2 ' + int2str(servos[2]));
243     writeln('Servo3 ' + int2str(servos[3]));
244     pulsemath;
245 end;
246
247 { build the correct timing for the servo-pulses }
248 { servo-pulses range from 1 to 2 ms every 20ms at 5 mhz timer freq
249   and 1 ms in 1 byte resolution is roughly 4 µs per bit means 20 timer counts }
250 { we want half range so 10 timer counts and 1,25 ms offset }
251 { 1,2 ms offset may be better because of isr-delay - 5*1200}
252 procedure pulsemath;
253     var
254         snr : Tservo;
255     begin
256         for snr := 1 to Cservoanzahl do
257             begin
258                 pulses[snr].length := servos[snr] * 10 + servobasis;
259                 pulses[snr].pio := Cpioservo[snr];
260             end;
261         end;
262
263
264     end.
```